

$I = \sqrt{r}$

جاء



١٠٩٧٢٦

۱۳۷۰/۱/۸
۱۳۷۰/۱۰/۲۴



دانشگاه پژوهی‌های
علمی

دانشکده کشاورزی
گروه خاکشناسی

پایان نامه کارشناسی ارشد

برای دریافت درجه کارشناسی ارشد در رشته خاکشناسی

عنوان:

تا ثیر کودهای آلی بر پارامترهای هم دماهای جذب و نیاز استاندارد فسفر در
شماری از خاکهای همدان

استاد راهنما

دکتر علیرضا حسین پور

اساتید مشاور

دکتر محسن جلالی

دکتر شاهین اوستان

۱۳۷۰/۱۰/۱۳

پژوهشگر:

مهدیه خورشید

بهار ۱۳۸۷



دانشگاه شهرستان

دانشکده کشاورزی

با نام و یاری خداوند متعال

**پایان نامه کارشناسی ارشد رشته خاکشناسی
خانم مهدیه خورشید شبستری**

تحت عنوان

**"تأثیر کودهای آلی بر هم دماهای جذب و نیاز استاندارد فسفر در شماری
از خاکهای آهکی همدان"**

به ارزش ۶ واحد در روز شنبه مورخ ۱۴۰۷/۲/۱۴ و در محل دانشکده کشاورزی با حضور
جمعی از اساتید و دانشجویان برگزار گردید و با نمره ۱۹/۷... و درجه عالی... به تصویب کمیته
تخصصی زیر رسید.

امضاء

دکتر علیرضا حسین پور

۱- استاد راهنما

امضاء

دکتر محسن جلالی

۲- اساتید مشاور

دکتر شاهین اوستان

امضاء

دکتر علی اکبر محبوبی

۳- اساتید داور

امضاء

دکتر علی اکبر صفری سنجانی

دکتر محسن شکل آبادی

امضاء

دکتر محمدرضا مصدقی

۴- مدیر گروه

امضاء

۴- سرپرست تحصیلات تكمیلی دانشکده

دکتر فرشاد دشتی

همه امتیازهای این پایان‌نامه به دانشگاه بوعلی‌سینا تعلق دارد. در صورت استفاده از تمام یا بخشی از مطالب پایان‌نامه در مجلات، کنفرانس‌ها و یا سخنرانی‌ها، باید نام دانشگاه بوعلی‌سینا (یا استاد یا استادی راهنمای پایان‌نامه) و نام دانشجو با ذکر مأخذ و خیمن کسب مجوز کتبی از دفتر تحصیلات تکمیلی دانشگاه ثبت شود. در غیر این صورت مورد پیگرد قانونی قرار خواهد گرفت.

تفتدم به

مادرم که شمع وجودش عشق را

پدرم که آینه وجودش دوست داشتن را

معن کرد

با شکر از استادان ارجمند آقا می دکتر غلیرضا حسین پور

و آقا می دکتر شاهین اوستان که از راهنمایی ها و مساعده های

بی دین ایشان نهایت بحره را بردہ ام

چکیده

تحرک و قابلیت استفاده فسفر در خاک تحت تاثیر ویژگی‌های جذب فسفر است. اطلاعات اندکی درباره اثر کود مرغی و لجن فاضلاب بر ویژگی‌های جذب فسفر در خاک‌های آهکی استان همدان وجود دارد. هدف‌های این پژوهش مطالعه تاثیر کود مرغی و لجن فاضلاب بر ویژگی‌های جذب فسفر و نیاز استاندارد فسفر و همبستگی این پارامترها با ویژگی‌های خاک بودند. ده نمونه خاک آهکی برای مطالعه ویژگی‌های جذب فسفر در حضور و غیاب کود مرغی و لجن فاضلاب استفاده شدند. نمونه‌های خاک با اضافه کردن $1/5$ درصد کود مرغی و لجن فاضلاب و بدون اضافه کردن این کودها به مدت ۵ ماه در رطوبت ظرفیت مزروعه در دمای 1 ± 25 درجه سانتی گراد در انکوباتور قرار گرفتند. پس از انکوباسیون فسفر قابل استفاده با روش اولسن تعیین شد. ویژگی‌های جذب این نمونه‌ها هم به وسیله هم‌دماهای معمول و هم با روش تک نقطه‌ای تعیین شدند. نتایج نشان داد فسفر قابل استفاده در اثر کاربرد کودهای آلی افزایش یافت. متوسط فسفر قابل استفاده در خاک‌های تیمار شده با کود مرغی و لجن فاضلاب به ترتیب $58/5$ و $37/6$ درصد افزایش یافت. نتایج نشان داد، داده‌های جذب فسفر در تمام نمونه‌ها به وسیله معادله‌های فروندلیچ و خطی توصیف شدند. معادله لانگمویر در برخی از نمونه‌های تیمار شده قادر به توصیف جذب فسفر نبود. متوسط ضریب توزیع در معادله فروندلیچ (k_f) در خاک‌های تیمار شده با کود مرغی و لجن فاضلاب به ترتیب $72/4$ و $21/7$ درصد کاهش یافت. ضریب k_f معادله فروندلیچ در خاک‌های تیمار شده با کود مرغی و لجن فاضلاب به ترتیب $63/6$ و $16/0$ درصد کاهش یافت. در معادله خطی گنجایش بافری در خاک‌های تیمار شده کاهش و غلظت تعادلی فسفر افزایش یافت ولی قدر مطلق عرض از مبدأ این معادله نتوانست فسفر لبایل را توصیف کند. متوسط گنجایش بافری تعادلی (شیب معادله خطی) در خاک‌های تیمار شده با کود مرغی و لجن فاضلاب به ترتیب $12/9$ و $6/1$ درصد کاهش یافت. متوسط فسفر لبایل (عرض از مبدأ) در خاک‌های تیمار شده با کود مرغی $34/4$ افزایش نشان داد در حالی که مقدار این پارامتر در خاک‌های تیمار شده با لجن فاضلاب $17/6$ درصد کاهش نشان داد. غلظت تعادلی فسفر در خاک‌های تیمار شده با کود مرغی و لجن فاضلاب به ترتیب $13/2$ و $37/5$ درصد افزایش یافت. متوسط شاخص جذب فسفر در خاک‌های تیمار شده با کود مرغی و لجن فاضلاب به ترتیب 11 و $3/8$ درصد کاهش یافت. در خاک‌های تیمار شده با لجن فاضلاب مقدار میانگین ماکریم جذب فسفر حاصل از معادله لانگمویر (b) $34/5$ درصد افزایش و ثابت متناسب با انرژی پیوند (k) 21 درصد کاهش یافت. نیاز استاندارد فسفر در خاک‌های تیمار شده نسبت به خاک‌های تیمار نشده کمتر بود. نتایج مطالعات همبستگی نشان داد که پارامترهای هم‌دماهای جذب و نیاز استاندارد فسفر در خاک‌های تیمار شده با کود مرغی و لجن فاضلاب با کربنات کلسیم معادل همبستگی معنی‌داری داشتند. نتایج این مطالعه نشان داد که کاربرد کودهای آلی باعث افزایش فسفر قابل استفاده و کاهش نیاز استاندارد فسفر خاک‌ها شد. همچنین نتایج ویژگی‌های جذب فسفر نشان داد که در اثر کاربرد کودهای آلی خطر وارد شدن فسفر به آب‌های سطحی وجود دارد.

کلمات کلیدی: فسفر، ویژگی‌های جذب، کود مرغی، لجن فاضلاب.

۱	مقدمه
فصل اول: بررسی منابع	
۵	۱- مقدار فسفر در خاک
۵	۲- چرخه فسفر
۷	۳- شکل های فسفر در خاک
۷	۴-۱: فسفر آلی
۸	۴-۲: فسفر معدنی
۹	۴-۳: فسفر محلول
۱۰	۴: فسفر جذب شده توسط خاک
۱۱	۵: عوامل مؤثر بر قابلیت جذب فسفر در خاک
۱۲	۱-۱: کانی های خاک
۱۴	pH: ۲-۵-۱
۱۶	۳-۵-۱: مواد آلی
۱۸	۴-۵-۱: آنیون
۱۹	۵-۵-۱: کاتیون
۱۹	۶-۵-۱: دما و زمان
۲۰	۵-۷-۱: غلظت فسفر موجود در محلول و اشباع مکان های جذب
۲۰	۸-۵-۱: غرقاب شدن
۲۱	۶-۶-۱: کودهای آلی
۲۲	۱-۶-۱: کود مرغی
۲۳	۲-۶-۱: لجن فاضلاب
۲۵	۷- استفاده از هم دماهای جذب جهت ارزیابی وضعیت فسفر در خاک
۲۸	۱-۷-۱: معادله لانگ مویر
۳۱	۲-۷-۱: معادله فروندلیچ
۳۳	۳-۷-۱: معادله خطی
۳۵	۸-۱: شاخص تک نقطه ای جذب سطحی فسفر
۳۶	۹-۱: نیاز استاندارد فسفر
۳۷	۱۰-۱: مروری بر تحقیقات انجام شده بر روی تأثیر مواد آلی بر ویژگی های جذب و نیاز استاندارد فسفر

فصل دوم: مواد و روشها

۲-۱: نمونه برداری

۴۵	۲-۲: بررسی ویژگی‌های خاکها
۴۵	۲-۲-۱: ویژگی‌های فیزیکی
۴۵	۲-۲-۲: ویژگی‌های شیمیایی
۴۶	۲-۳: بررسی ویژگی‌های شیمیایی لجن فاضلاب و کود مرغی
۴۶	pH: ۱-۳-۲
۴۶	۲-۳-۲: هدایت الکتریکی
۴۶	۲-۳-۳: فسفر قابل جذب
۴۷	۲-۳-۳: فسفر کل
۴۷	۲-۴: مطالعه تأثیر کود مرغی و لجن فاضلاب بر هم‌دماهای جذب فسفر
۴۷	۲-۴-۱: آماده کردن نمونه‌ها
۴۷	۲-۵: تعیین ویژگی‌های جذب فسفر
۴۷	۲-۵-۱: تعیین پارامترهای هم‌دمای جذب
۴۸	۲-۵-۲: تعیین شاخص تک نقطه‌ای
۴۸	۲-۵-۳: فسفر قابل جذب

فصل سوم: نتایج و بحث

۴۹	۳-۱: ویژگی‌های فیزیکی و شیمیایی خاکها
۵۱	۳-۲: ویژگی‌های شیمیایی لجن فاضلاب و کود مرغی
۵۲	۳-۳: مطالعه جذب فسفر در خاک‌ها پیش از انکوباسیون
۵۲	۳-۳-۱: هم‌دماهای جذب
۵۹	۳-۳-۲: شاخص جذب فسفر (PSI)
۵۹	۳-۳-۳: ارتباط پارامترهای هم‌دمای جذب فسفر
۶۲	۳-۴: ارتباط ویژگی‌های خاک با پارامترهای معادله‌های هم‌دمای جذب فسفر
۶۵	۳-۵: برآورد پارامترهای هم‌دماهای جذب از روی ویژگی‌های خاک در خاک‌های شاهد
۶۶	۳-۶: مطالعه جذب خاک‌های شاهد پس از انکوباسیون
۶۶	۳-۶-۱: فسفر قابل استخراج به روش اولسن
۶۶	۳-۶-۲: شاخص جذب فسفر (PSI)
۶۷	۳-۶-۳: هم‌دماهای جذب فسفر
۷۲	۳-۶-۴: ارتباط پارامترهای هم‌دمای جذب در خاک‌های شاهد پس از انکوباسیون
۷۳	۳-۶-۵: ارتباط پارامترهای هم‌دمای جذب و ویژگی خاک‌های شاهد پس از انکوباسیون
۷۶	۳-۶-۶: برآورد پارامترهای هم‌دماهای جذب از ویژگی‌های خاک‌های شاهد پس از انکوباسیون
۷۷	۳-۶-۵: مطالعه ویژگی‌های جذب فسفر در خاک‌های تیمار شده با کود مرغی

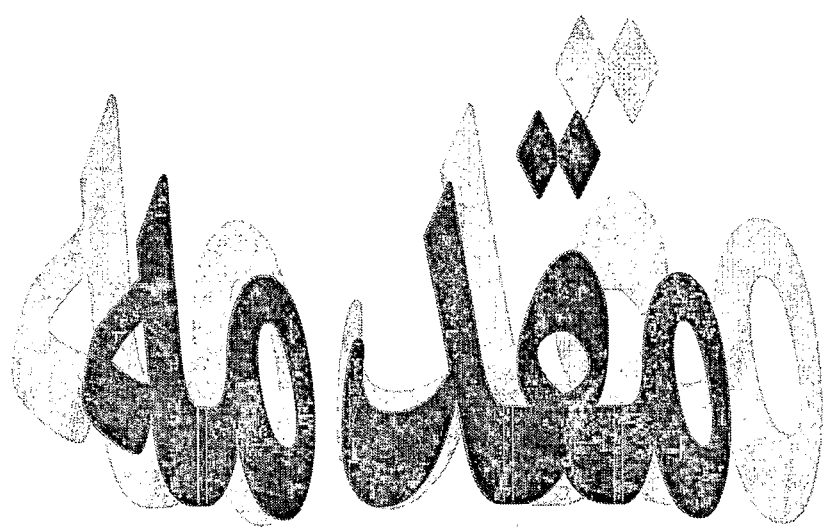
۳-۵-۱: فسفر قابل استخراج به روش اولسن	۷۷
۳-۵-۲: شاخص جذب فسفر (PSI)	۷۷
۳-۵-۳: هم‌دهماهای جذب فسفر	۷۸
۳-۵-۴: ارتباط پارامترهای هم‌دهمای جذب فسفر در خاک‌های تیمار شده با کود مرغی	۸۳
۳-۵-۵: ارتباط پارامترهای هم‌دهمای جذب و ویژگی‌های خاک‌های تیمار شده با کود مرغی	۸۳
۳-۵-۶: برآورد پارامترهای هم‌دهماهای جذب از ویژگی‌های خاک‌های تیمار شده با کود مرغی	۸۵
۳-۶-۱: فسفر قابل استخراج به روش اولسن	۸۵
۳-۶-۲: شاخص تک نقطه‌ای جذب فسفر	۸۶
۳-۶-۳: هم‌دهماهای جذب فسفر	۸۶
۳-۶-۴: ارتباط پارامترهای هم‌دهمای جذب فسفر در خاک‌های تیمار شده با لجن فاضلاب	۹۱
۳-۶-۵: ارتباط پارامترهای هم‌دهمای جذب و ویژگی‌های خاک‌های تیمار شده با لجن فاضلاب	۹۲
۳-۶-۶: برآورد پارامترهای هم‌دهماهای جذب از ویژگی‌های خاک‌های تیمار شده با لجن فاضلاب	۹۵
۳-۷-۱: مطالعه تأثیر تیمارها بر فسفر قابل استفاده و ویژگی‌های جذب فسفر در خاک‌های مطالعه شده	۹۶
۳-۷-۲: مطالعه اثر تیمارها بر شاخص جذب	۹۸
۳-۷-۳: مطالعه اثر تیمارها بر پارامترهای معادله لانگ مویر	۹۹
۳-۷-۴: اثر تیمارها بر پارامترهای معادله فروندلیچ	۱۰۴
۳-۷-۵: اثر تیمارها بر پارامترهای معادله خطی	۱۰۷
نتیجه گیری	۱۱۴
پیشنهادها	۱۱۵
فهرست منابع	۱۱۶

- شکل ۱-۱- تغییرات در میزان اجزاء فسفات طی فرآیند خاکسازی ۶
- شکل ۱-۲- چرخه فسفر ۱۶
- شکل ۱-۳- توزیع گونه‌های مختلف ارتوفسفات در محلول خاک در pH های مختلف ۹
- شکل ۱-۴- اثر pH بر قابلیت دستررسی فسفر برای گیاه ۱۰
- شکل ۱-۵- جذب سطحی برگشت پذیر و برگشت ناپذیر فسفر ۱۳
- شکل ۱-۶- قابلیت حل کانی‌های فسفر در pH های مختلف ۱۶
- شکل ۱-۷- جهار دسته کلی هم‌دماهای جذب سطحی ۲۷
- شکل ۱-۸- فسفر جذب شده در غلظت‌های مختلف تعادلی فسفر در خاک‌های شماره ۵، ۶، ۹ و ۱۰ شاهد ۵۳
- شکل ۲-۱- هم‌دمای جذب لانگ‌مویر در خاک شماره ۶ شاهد ۰۰
- شکل ۲-۲- هم‌دمای جذب فروندلیچ در خاک شماره ۱۰ شاهد ۰۷
- شکل ۲-۳- هم‌دمای جذب خطی در خاک شماره ۸ شاهد ۰۹
- شکل ۲-۴- هم‌دمای جذب شده در غلظت‌های مختلف تعادلی فسفر در خاک‌های شماره ۴، ۶، ۹ و ۱۰ شاهد پس از انکویاسیون ۶۷
- شکل ۳-۱- هم‌دمای جذب لانگ‌مویر در خاک شماره ۴ شاهد پس از انکویاسیون ۶۸
- شکل ۳-۲- هم‌دمای جذب فروندلیچ در خاک شماره ۶ شاهد پس از انکویاسیون ۷۰
- شکل ۳-۳- هم‌دمای جذب خطی در خاک شماره ۸ شاهد پس از انکویاسیون ۷۲
- شکل ۳-۴- هم‌دمای جذب لانگ‌مویر در خاک شماره ۶ تیمار شده با کود مرغی ۷۹
- شکل ۳-۵- هم‌دمای جذب فروندلیچ در خاک شماره ۶ تیمار شده با کود مرغی ۸۱
- شکل ۳-۶- هم‌دمای جذب خطی در خاک شماره ۵ تیمار شده با کود مرغی ۸۲
- شکل ۳-۷- هم‌دمای جذب لانگ‌مویر در خاک شماره ۳ تیمار شده با لجن فاضلاب ۸۷
- شکل ۳-۸- هم‌دمای جذب فروندلیچ در خاک شماره ۶ تیمار شده با لجن فاضلاب ۸۹
- شکل ۳-۹- هم‌دمای جذب خطی در خاک شماره ۳ تیمار شده با لجن فاضلاب ۹۰
- شکل ۳-۱۰- مقایسه فسفر قابل جذب در خاک‌ها و کودهای مختلف ۹۷
- شکل ۳-۱۱- مقایسه شاخص جذب فسفر در خاک‌ها و کودهای مختلف ۹۹
- شکل ۳-۱۲- نمودارهای برازش داده‌های حاصل از خاک‌های شاهد پس از انکویاسیون و تیمار شده با کود مرغی و لجن فاضلاب بر معادله لانگ‌مویر در خاک شماره ۴ ۹۹
- شکل ۳-۱۳- نمودارهای برازش داده‌های حاصل از خاک‌های شاهد پس از انکویاسیون و تیمار شده با کود مرغی و لجن فاضلاب بر معادله فروندلیچ در خاک شماره ۶ ۱۰۴

- شکل ۱۹-۳ نمودارهای برازش داده‌های حاصل از خاک‌های شاهد پس از انکوباسیون و تیمار شده با کود مرغی و لجن فاضلاب بر معادله فروندلیچ در خاک شماره ۸
۱۰۴
- شکل ۲۰-۳ نمودارهای نمودارهای برازش داده‌های حاصل از خاک‌های شاهد پس از انکوباسیون و تیمار شده با کود مرغی و لجن فاضلاب بر معادله خطی در خاک شماره ۷
۱۰۷
- شکل ۲۱-۳ نمودارهای برازش داده‌های حاصل از خاک‌های شاهد پس از انکوباسیون و تیمار شده با کود مرغی و لجن فاضلاب بر معادله خطی در خاک شماره ۵
۱۰۸

۲۵	جدول ۱-۱- آزمایش تجزیه یک نمونه لجن فاضلاب معمول
۵۰	جدول ۱-۳- برخی از ویژگی‌های فیزیکی و شیمیایی نمونه خاک‌های مطالعه شده
۵۱	جدول ۲-۳- برخی از ویژگی‌های شیمیایی لجن فاضلاب و کود مرغی
۵۵	جدول ۳-۳- پارامترهای معادله هم‌دماجی جذب لانگ‌مویر در خاک‌های شاهد
۵۶	جدول ۴-۳- پارامترهای معادله هم‌دماجی جذب فروندلیچ در خاک‌های شاهد
۵۸	جدول ۵-۳- پارامترهای معادله هم‌دماجی جذب خطی در خاک‌های شاهد
۵۹	جدول ۶-۳- شاخص تک نقطه‌ای جذب فسفر در خاک‌های شاهد
۶۱	جدول ۷-۳- نتایج همبستگی پارامترهای هم‌دماهای جذب در خاک‌های شاهد
۶۳	جدول ۸-۳- نتایج همبستگی ویژگی‌های خاک با پارامترهای معادلات هم‌دماهای جذب در خاک‌های شاهد
۶۵	جدول ۹-۳- معادلات رگرسیونی برآورده شده برای خاک‌های شاهد
۶۶	جدول ۱۰-۳- فسفر قابل جذب به روش اولسن در خاک‌های شاهد پس از انکوباسیون
۶۷	جدول ۱۱-۳- شاخص تک نقطه‌ای جذب فسفر در خاک‌های شاهد پس از انکوباسیون
۶۹	جدول ۱۲-۳- پارامترهای حاصل از برآش داده‌ها با معادله هم‌دماجی جذب لانگ‌مویر در خاک‌های شاهد پس از انکوباسیون
۷۰	جدول ۱۳-۳- پارامترهای حاصل از برآش داده‌ها با معادله هم‌دماجی جذب فروندلیچ در خاک‌های شاهد پس از انکوباسیون
۷۱	جدول ۱۴-۳- پارامترهای حاصل از برآش داده‌ها با معادله هم‌دماجی جذب خطی در خاک‌های شاهد پس از انکوباسیون
۷۴	جدول ۱۵-۳- نتایج همبستگی پارامترهای معادلات هم‌دماجی جذب در خاک‌های شاهد پس از انکوباسیون
۷۵	جدول ۱۶-۳- نتایج همبستگی ویژگی‌های خاک با پارامترهای معادلات هم‌دماجی جذب در خاک‌های شاهد پس از انکوباسیون
۷۶	جدول ۱۷-۳- معادلات رگرسیونی برآورده شده برای خاک‌های شاهد پس از انکوباسیون
۷۷	جدول ۱۸-۳- فسفر قابل جذب به روش اولسن در خاک‌های تیمار شده با کود مرغی
۷۷	جدول ۱۹-۳- شاخص تک نقطه‌ای جذب فسفر در خاک‌های تیمار شده با کود مرغی
۷۹	جدول ۲۰-۳- پارامترهای حاصل از برآش داده‌ها با معادله لانگ‌مویر در خاک‌های تیمار شده با کود مرغی
۸۰	جدول ۲۱-۳- پارامترهای حاصل از برآش داده‌ها با معادله فروندلیچ در خاک‌های تیمار شده با کود

مرغی	
جدول ۲۲-۳- پارامترهای حاصل از برآش داده‌ها با معادله خطی در خاک‌های تیمار شده با کود مرغی	۸۲
جدول ۲۳-۳- نتایج همبستگی پارامترهای معادلات هم‌دمای جذب در خاک‌های تیمار شده با کود مرغی	۸۳
مرغی	
جدول ۲۴-۳- نتایج همبستگی ویژگی‌های خاک و پارامترهای معادلات هم‌دمای جذب در خاک‌های تیمار شده با کود مرغی	۸۴
جدول ۲۵-۳- معادلات رگرسیونی برآورده شده برای خاک‌های تیمار شده با کود مرغی	۸۵
جدول ۲۶-۳- فسفر قابل جذب به روش اولسن در خاک‌های تیمار شده بالجن فاضلاب	۸۶
جدول ۲۷-۳- شاخص تک نقطه‌ای جذب فسفر در خاک‌های تیمار شده بالجن فاضلاب	۸۶
جدول ۲۸-۳- پارامترهای حاصل از برآش داده‌ها با معادله لانگمویر در خاک‌های تیمار شده بالجن فاضلاب	۸۸
جدول ۲۹-۳- پارامترهای حاصل از برآش داده‌ها با معادله فرونالیچ در خاک‌های تیمار شده بالجن فاضلاب	۸۹
جدول ۳۰-۳- پارامترهای حاصل از برآش داده‌ها با معادله خطی در خاک‌های تیمار شده بالجن فاضلاب	۹۱
جدول ۳۱-۳- نتایج همبستگی پارامترهای معادلات هم‌دمای جذب در خاک‌های تیمار شده بالجن فاضلاب	۹۳
جدول ۳۲-۳- نتایج همبستگی ویژگی‌های خاک و پارامترهای معادلات هم‌دمای جذب در خاک‌های تیمار شده بالجن فاضلاب	۹۴
جدول ۳۳-۳- معادلات رگرسیونی برآورده شده برای خاک‌های تیمار شده بالجن فاضلاب	۹۵
جدول ۳۴-۳- نتایج تجزیه واریانس اثر نوع خاک و تیمارها بر فسفر قابل جذب	۹۷
جدول ۳۵-۳- نتایج تجزیه واریانس اثر نوع خاک و تیمارها بر شاخص جذب فسفر	۹۸
جدول ۳۶-۳- نتایج تجزیه واریانس اثر نوع خاک و تیمارها بر پارامترهای معادله لانگمویر	۱۰۱
جدول ۳۷-۳- نتایج تجزیه واریانس اثر نوع خاک و تیمارها بر پارامترهای معادله فرونالیچ	۱۰۶
جدول ۳۸-۳- نتایج تجزیه واریانس اثر نوع خاک و تیمارها بر پارامترهای معادله خطی	۱۱۵
جدول ۳۹-۳- نتایج آزمون مقایسه میانگین پارامترهای جذبی و قابلیت دستری فسفر در خاک‌های مختلف به روش دانکن	۱۱۲
جدول ۴۰-۳- مقایسه میانگین پارامترهای جذبی و قابلیت دستری فسفر در تیمارهای مختلف	۱۱۳



سفر از عناصر پر نیاز و نیز یکی از مهمترین عناصر در تولید محصول می‌باشد. به دلیل نقش حیاتی این عنصر در گیاه از آن به نام "کلید زندگی" یاد شده است (تامپسون و تروه^۱، ۱۹۷۵). مقدار فسفر پوسته جامد زمین حدود ۰/۱۲ درصد P_2O_5 تخمین زده شده است که در مقایسه با مقدار پتاسیم تقریباً یک دهم آن است. مقدار فسفر در خاک بین ۰/۲۲ تا ۰/۳ درصد تغییر می‌کند و متوسط آن در خاک‌های زراعی در حدود ۰/۰۶ درصد می‌باشد. از لحاظ فراوانی فسفر یازدهمین عنصر روی زمین است. این عنصر با فلزات تولید کمپلکس می‌کند و تا کنون بیش از ۱۵۰ کانی شناخته شده است که مقدار فسفر آن از ۱ درصد بیشتر بوده است (سالاردینی، ۱۳۸۲).

با ظهور کشاورزی متاخر، کمبود فسفر در خاک پدیده‌ای گسترده شد (کریمیان، ۱۳۷۱). در جهت جبران این کمبود سالیانه مقادیر زیادی کودهای شیمیایی فسفاته به خاک اضافه می‌گردد اما به دلیل وارد شدن فسفر در واکنش‌های مختلف با ترکیبات خاک که تابع پیچیده‌ای از نوع و مقدار ترکیبات خاک و بهویژه واکنش‌پذیری رسهای سیلیکاتی، کربنات کلسیم، اکسیدهای آهن و آلمینیوم، مواد آلی و زمان است فراهمی این عنصر در خاک کاهش یافته (افیف^۲، ۱۹۹۳) و راندمان جذب فسفر به وسیله گیاه پایین می‌آید. در واقع ۱۰ تا ۳۰ درصد از فسفر مصرفی توسط گیاه استفاده شده و ۹۰ تا ۷۰ درصد آن در خاک انباسته می‌شود (کوکار و کتکال^۳، ۱۹۹۷). از دیدگاه کشاورزی این موضوع امری منفی تلقی می‌شود زیرا فسفری که با قدرت به وسیله خاک نگه‌داری می‌شود کمتر قابل دسترس گیاه می‌باشد. اما از دیدگاه زیست محیطی، نگه‌داری قوی فسفر به وسیله خاک مانع ورود فسفر محلول در رواناب و انتقال آن به آب‌های زیرزمینی می‌شود (سوی و تامپسون^۴، ۲۰۰۰) و ظاهراً امری مثبت به شمار می‌آید. با وجود اینکه به نظر می‌رسد این عنصر در سیستم خاک نسبتاً غیرمتحرک باشد (جانسون^۵ و همکاران، ۱۹۹۷)، اما نباید تحرک این عنصر را از راه‌های رواناب، فرسایش و آبشویی از پروفیل خاک، نادیده گرفت (ژانگ^۶ و همکاران، ۲۰۰۵). اگر فسفر بیش از نیاز گیاه به کار رود، این عنصر در خاک انباسته شده و سرعت کاهش آن از خاک توسط عوامل ذکر شده افزایش می‌یابد (شارپلی^۷ و همکاران، ۱۹۹۹).

انباستگی فسفر در خاک افزون بر اینکه از لحاظ اقتصادی و آلودگی محیط زیست امری نامطلوب

1 -Thompson and Troeh

2 -Afif

3 -Kucar and Katkal

4 -Sui and Thompson

5 -ohnson

6 -Zhang

7 -Sharpley

تلقی می شود، باعث به هم خوردن تعادل بین عناصر غذایی نیز می گردد. محققان به منظور افزایش کارایی استفاده از فسفر راهکارهایی را ارائه نموده اند که از آن جمله استفاده از منابع آلی فسفر می باشد. کودهای آلی این توانایی را دارند که باعث تحرک فسفر انباسته شده در خاک شوند (تور و بال^۱، ۱۹۹۷). این تحرک به وسیله تبدیل شکل های نامحلول فسفات های آهن، آلومینیوم و کلسیم به شکل های فسفر محلول و از راه فعالیت اسیدهای آلی و کلات هایی که در طی تجزیه کودهای آلی تولید می شوند، انجام می پذیرد (البارونی و اولسن^۲، ۱۹۷۹). از آنجا که در ایران بیش از ۶۰ درصد اراضی زیر کشت به درجات مختلف آهکی هستند (سالار دینی، ۱۳۸۲) و در خاک های آهکی فسفر به مقدار زیادی به وسیله واکنش های جذب و رسوب در سطوح کانی های کربنات کلسیم ابقاء می شود (فریمن و راول^۳، ۱۹۸۱). این راهکار برای خاک های ایران مناسب به نظر می رسد.

کود مرغی یک منبع ارزان قیمت فسفر محسوب می شود که به عنوان یک کود آلی از راه های گوناگون فسفر قابل دسترس گیاه را در خاک بالا می برد. لجن فاضلاب، نیز یک منبع ارزان قیمت عناصر غذایی و تقویت کننده حاصلخیزی خاک در کشاورزی می باشد (ویر^۴ و همکاران، ۱۹۹۶). بهره گیری از کود لجن فاضلاب در مدیریت محصول، مصرف کودهای شیمیایی ازته و فسفره را به طور قابل ملاحظه ای کاهش می دهد و مانع از بین رفتن زمین می شود (آلیاچ^۵ و همکاران، ۲۰۰۱). روزگاری تلاش محققان در اروپا و آمریکا بر طرف کردن کمبود فسفر خاک بود. این هدف از راه کاربرد کودهای آلی به دست آمد ولی به دلیل افراط هم اکنون تلاش محققان در این کشورها کنترل تبعات استفاده از این کودها است. مطالعات نشان داده است در مکان هایی که به طور مداوم از کود آلی حیوانی استفاده می شود فسفر بیش از نیاز گیاه می باشد (شارپلی و همکاران، ۱۹۸۴؛ نایر^۶ و همکاران، ۱۹۹۸). در این مناطق احتمال انتقال فسفر از سطح خاک به عمق پایینتر از ۷۰ سانتی متر نیز وجود دارد (لین ویر^۷ و همکاران، ۱۹۹۹). بررسی ها نشان

1 -Toor and Bahl

2 -El-Baruni and Olsen

3 -Freeman and Rowell

4 -Webber

5 -Albiach

6 -Nair

7 -Leinweber

می دهند که استفاده طولانی مدت از لجن فاضلاب باعث غنی شدن آب ها و وارد آمدن خسارت به محیط زیست می شود (Rydin و Otabpong^۱، ۱۹۹۷؛ Siddique^۲ و همکاران، ۲۰۰۰).

باید توجه داشت که در کاربرد این کودها اجرای یک سیاست دوسویه ضروری است. از یک سو توصیه کودی باید به گونه ای باشد که بتوان حداکثر محصول را تولید کرد و از سو دیگر باید جنبه های زیست محیطی را نیز در کاربرد کود در نظر گرفت.

نسبت N/P کودهای جانوری در دامنه ۱:۱ تا ۴:۱ قرار داشته (زانگ و همکاران، ۲۰۰۴) و مقدار برداشت توسط محصولات زراعی و علوفه ای کمتر از ۱:۸ می باشد (USDA، ۲۰۰۱). کاربرد کود جانوری اغلب بر اساس نیاز نیتروژن گیاه تنظیم می شود. به همین دلیل فسفر بیش از نیاز گیاه به خاک وارد می شود (شارپلی و همکاران، ۱۹۹۹). به نظر می رسد رواناب زمین های کشاورزی کود دریافت کرده، یکی از منابع اصلی آلودگی غیر مت مرکز فسفر بوده (Daniel^۳ و همکاران، ۱۹۹۴) و ممکن است باعث غنی شدن آب های سطحی و رشد گیاهان آبزی شود (شارپلی و همکاران، ۱۹۹۹). غنی شدن آب دریاها در غلظت های پایین فسفر (در حدود ۰/۰۱ میلی گرم بر لیتر) نیز آغاز می شود. بنابراین ورود مقادیر کم فسفر از راه رواناب به آب های سطحی و به وسیله زهکشی به آب های زیر سطحی می تواند سبب بدتر شدن کیفیت آب شود. پیشنهاد شده است که برای جلوگیری از افزایش فزاینده فسفر در خاک، کود آلی باید مطابق نیاز فسفر محصول به کار برده شود و سپس برای جبران نیاز ازت، کود ازته به خاک اضافه شود (Daniel و همکاران، ۱۹۹۴) ولی متأسفانه این راه همیشه اقتصادی و عموماً کاربردی نیست (شارپلی و همکاران، ۱۹۹۶).

کودهای آلی افزون بر ارزش تغذیه ای، باعث بهبود شرایط بیولوژیکی و فیزیکو شیمیایی خاک شده و از لحاظ اقتصادی نیز کاربرد آنها مقرن به صرفه می باشد. از طرفی واکنش های جذب و واجذب فسفر و ظرفیت های بافری فسفر خاک نقش مهمی را از جنبه های کشاورزی و زیست محیطی بازی می کنند (سوی و Tampsouon، ۲۰۰۰). تلاش های زیادی برای فهم شیمی خاک به ویژه تثیت فسفر و قابلیت دسترسی آن از کودهای شیمیایی به کار رفته در خاک انجام گرفته است (خاساونه^۴ و همکاران، ۱۹۸۰). ولی تحقیقات در مورد فهم قابلیت دسترسی فسفر از کودهای

1 -Rydin and Otabpong

2 -Siddique

3 -Daniel

4 -Khasawneh

آلی بسیار کمتر می‌باشد. لذا، مطالعه شیمی کودآلی در خاک و سعی در پیشگویی قابلیت دسترسی فسفر برای محصول با مدیریت بهینه عناصر غذایی گیاه، حداکثر سود اقتصادی و کمترین خطر برای محیط زیست، امری ضروری است (لبوسکی و لمب^۱، ۲۰۰۳). جذب فسفر در خاک‌ها می‌تواند به وسیله چند مدل توصیف شود که هم‌دهای جذب لانگ مویر، فرون‌دلیچ و خطی مهم‌تر از بقیه می‌باشند. پارامترهای این معادلات ییانگر ویژگی‌های جذب فسفر توسط خاک می‌باشند و هر عاملی که بر جذب فسفر توسط خاک تأثیر گذارد، این پارامترها را هم تغییر خواهد داد. بنابراین با استفاده از این معادلات می‌توان به صورت غیر مستقیم ویژگی‌های جذب خاک‌ها را تخمین زد.

در خاک‌های همدان مطالعات اندکی پیرامون تأثیر کودهای آلی بر هم‌دهای جذب و نیاز استاندارد فسفر صورت گرفته است. در این پژوهش تأثیر دو نوع کودآلی لجن فاضلاب و کود مرغی مورد مطالعه قرار گرفته است.

اهداف این پژوهش عبارتند از:

- ۱) مطالعه تأثیر کودهای آلی بر فسفر قابل استفاده خاک
- ۲) مطالعه تأثیر کودهای آلی بر ویژگی‌های جذب فسفر
- ۳) مطالعه تأثیر کودهای آلی بر نیاز استاندارد فسفر
- ۴) مطالعه همبستگی خصوصیات فیزیکی و شیمیایی خاک‌ها با پارامترهای جذب فسفر خاک‌ها.

فصل اول

